

溃疡性结肠炎小鼠模型肠粘膜中细胞因子的表达和核转录因子 NF-κB 的激活

王群英¹ 李村龙² 王继德¹ 袁强¹ 袁卓胜¹ 袁长亚¹ 历¹ 第一军医大学南方医院全军消化内科研究所¹ 广东 广州 510515

目的建立小鼠溃疡性结肠炎动物模型并检测其肠粘膜中致炎细胞因子 TNF- α 和 IL-1 β 的表达和 NF- κ B 的激活。方法用 5% 葡聚糖硫酸钠灌胃法制备小鼠 UC 模型。采用逆转录 - 聚合酶链反应 (RT-PCR) 法检测 UC 小鼠肠粘膜中 TNF- α 和 IL-1 β 的表达水平。应用免疫电泳迁移率改变分析 (EMSA) 法检测急性期和慢性期 UC 小鼠肠粘膜细胞 NF- κ B 的激活。结果 模型组肠粘膜中 TNF- α 和 IL-1 β 的表达较正常对照组显著增加 ($P=0.009$)。NF- κ B 的核内结合活性也显著增强。结论 UC 的发生和发展过程伴随致炎细胞因子表达的升高，可以加剧炎症，导致上皮细胞凋亡。该过程可能受 NF- κ B 激活的调控。

关键词 溃疡性结肠炎；细胞因子；NF- κ B；逆转录 - 聚合酶链反应

中图分类号 R574.62 文献标识码 A 文章编号 1000-2588(2003)01-1202-04

Expression of pro-inflammation cytokines and activation of nuclear factor κ B in the intestinal mucosa of mice with ulcerative colitis

WANG Qun-ying, CHEN Cun-long, WANG Ji-de, LAI Zhuo-sheng, MA Qiang, ZHANG Ya-li

Institute for Digestive Diseases of PLA, Nanfang Hospital, First Military Medical University, Guangzhou 50515, China

Abstract: Objective To investigate the expression of pro-inflammation cytokines and activation of nuclear factor κ B (NF- κ B) in mouse models of ulcerative colitis. Methods Mouse models of ulcerative colitis were established by oral administration of 5% dextran sulfate sodium for 7 d, and the expression of tumor necrosis factor (TNF)- α and interleukin (IL)-1 β in the intestinal mucosa were detected by semi-quantitative reverse transcriptional (RT) PCR. The activation of NF- κ B in the intestinal mucosa was evaluated by electrophoretic mobility shift assay (EMSA). Results The expressions of TNF- α and IL-1 β were increased in the intestinal mucosa ($P=0.009$), and the nuclear binding activity of NF- κ B was also up-regulated after the onset of colitis. Conclusion Pro-inflammatory cytokines play important roles in the pathogenesis of UC, and may exacerbate the inflammation of the intestinal mucosa and cause apoptosis of the epithelial cells, possibly under the regulation of NF- κ B activation.

Key words: ulcerative colitis; cytokine; NF- κ B; RT-PCR

溃疡性结肠炎 (ulcerative colitis, UC) 是炎症性肠病的一种。近年来其发病率呈上升趋势。其发病机制和病因至今仍不十分清楚。在 UC 发生和发展过程中，细胞因子扮演了重要角色。有许多细胞因子如 IFN- γ 、TNF- α 、IL-1 β 和 IL-12 等能够诱导或激活 T 细胞或 B 细胞，并能诱导多种致炎因子的产生。炎症局部的中性粒细胞或巨噬细胞聚集并损坏肠粘膜。现已证实，UC 中细胞因子的表达是由核因子- κ B (NF- κ B) 调控的。已知 NF- κ B 在正常肠上皮细胞内无激活，在 UC 的肠上皮细胞内表达升高。

本研究建立了 UC 小鼠模型并对 UC 的发病机制进行了初步探讨。

1 材料与方法

1.1 实验动物及分组

收稿日期 2003-04-07

作者简介 王群英，女，山东青岛人，1996 年毕业于潍坊医学院，硕士，电话 0529-61641544

20 只 8~9 周龄 BALB/c 小鼠（雌雄各半），质量 16~18 g。随机均分为正常对照组和葡聚糖硫酸钠灌胃组。

1.2 主要试剂

Taq 酶（美国 Bio-Rad 公司），polydI/dC（Sigma 公司），Klenow 片断（美国 Promega 公司），NF- κ B 寡核苷酸（上海生工生物工程公司合成）， α -AGT TGA GGG GAC TTT CCC AGG C-3' → TCA ACT CCC CTG AAA GGG TCC G-5'，[32 P]dATP（北京亚辉生物医学工程公司），其余均为国产分析纯试剂。

1.3 主要仪器

PERKIN ELMER DNA Thermal Cycler 480 PCR 扩增仪（美国 Bio-Rad 垂直电泳仪）Bio-Rad MOD-EL 583 GEL DRYER 干胶仪（美国 Urist HT-330U），GFA 产品，胶片自动冲洗仪。

1.4 方法

1.4.1 动物处理 对照组一直自由饮用蒸馏水，灌胃组小鼠自由饮用 5% DSS 溶液。

续 7 d 后处死小鼠袁取 30~50 mg 肠粘膜提取 RNA袁
剩余部分提取肠上皮细胞核蛋白遥

1.4.2 RNA 提取和逆转录 - 聚合酶链反应 漏
PCR 空 提取总 RNA 采用异硫氰酸胍二步法漏
GAPDH 为内参照漏 APDH 空 NF-_{κB}-L-1 苗引物由软件设
计合成漏 物序列如下漏 GAPDH (294 bp) 袁 义链为院
5'-CTGGTGCTGAGTATGTCGTG-3' 袁 反义链为 隘'-
CAG TCTTCTGAGTGGCAGTG-3' 四 NF-_{κB} (334 bp) 顺
义链为 隘'- AACTAGTGGTGCCAGCCGAT-3' 袁 反义链
为 隘'- CTTCACAGAGCAATGACTCC-3' 四 L-1 苗 (377
bp) 顺义链为 隘'- AGCTTCCTGTGCAAGTGTG-3' 袁
反义链为 隘'- CACACCAGCAGGTTATCATC-3' 漏 RT-
PCR 方法院 0 佛 buffer 5 漏 袁 5 mmol/L 4 佛 NTP 各 2 漏 袁
20 mmol/L MgCl₂ 3.5 漏 袁 物各 2 漏 袁 DNA 模板 2 漏 袁
三蒸水 34.5 漏 袁 aq 酶 1 漏 袁 总反应体系 50 漏 在
PERKIN ELMER DNA Thermal Cycler 480 PCR 扩增
仪上完成漏 反应条件为 隘 5 益 逆转录 5 min 袁 CR 反应
温度 隘 4 益 30 s 空 6 益 20 s 袁 2 益 40 s 袁 最后 72 益 延伸
6 min 漏 采用 Gel-Pro Analyzer 4.0 软件 漏 美国 Media
Cybernetics 公司 空 根据电泳条带的面积和亮度计算出
每个条带的积分光密度漏 待测细胞因子的光密度对
同一标本 GAPDH 漏 对照 空 光密度的比值表示该细
胞因子 mRNA 的表达水平漏

1.4.3 EMSA 实验方法

1.4.3.1 小鼠肠上皮细胞的分离 取小鼠整段结肠，齐出肠内容物，翻转使肠内膜向外，用冷 D-Hanks 液充分冲洗 3 次，置含 1.0 mmol/L EDTA 和 0.25% 胰岛素的 D-Hanks 液中，7 盒下摇床摇 1~2 h，离心沉淀即为肠上皮细胞。

1.4.3.2 核蛋白提取及定量 采用以下试剂袁溶液 A院
10 mmol/L HEPES 混H7.9 稀0 mmol/L KCL 稀0 mmol/L
DTT 稀0.1 mmol/L EDTA 稀0.1 mmol/L EGTA 遥溶液 B院
20 mmol/L HEPES 混H7.9 稀0.4 mmol/L KCL 稀0
mmol/L DTT 稀0.1 mmol/L EDTA 稀0.1 mmol/L EGTA 遥
溶液 C院0 滋mol/L PMSF 稀 mg/L Pepstain 稀 mg/L Le-
upetin 稀 mg/L Aprotinin 遥向收集的细胞中加入 400 滋
溶液 A 置冰上 15 min 袁加 25 滋 10% NP-40 袁置震
荡器上强烈震荡 30 s 袁 200 r/min 低温离心 20 min 袁
弃上清袁用 100 滋 溶液 B 重悬沉淀袁 益震荡 45 min 袁
1 200 r/min 低温离心 5 min 袁收集上清即为核蛋白提
取物袁 70 益保存遥G-250 法袁波长 595 nm 袁测定蛋白
浓度遥

1.4.3.3 探针的标记和纯化 参照文献 咱暂设计 NF-
资 寡核苷酸探针序列袁此序列选自 TNF-琢基因的促
进子区域袁为 5'AGCTTGATGAGTCAGCCG 3'袁
ACTACTCAGTCCGGCCTAG 5'遥探针经过聚合资稀释

至终浓度 10 pmol/L 遥加入探针 1 滋袁再加 10 Klenow 片断缓冲液 2 滋尧添 32P]dATP 淘 0 nCi/滋冤 滋尧三蒸水 9 滋尧无 A dNTP 淘 5 mmol/L 冤 滋袁最后加稀释的 Klenow 片断 1 滋袁总反应体积 20 滋袁 7 益水浴 30min 袁 进行 3' 末端标记反应遥纯化后测定比放射活性袁调整 探针的比放射活性在 80 000~100 000 之间遥其余的 样品 -20 益保存遥

1.2.3.4 聚丙烯酰胺凝胶电泳 所有样本核蛋白定量为 5 滤袁在 20 滤的总反应体系中根据蛋白浓度调整蛋白体积袁使蛋白与三蒸水的总体积为 10 滤袁再加入 0.2 mol/L Tris.Cl 射 mol/L NaCl 射 0 mmol/L EDTA 射 20 mmol/L MgCl 射 0 mmol/L DTT 射 滤/滤 poly dI/dC 各 1 滤袁 5% 甘油 3 滤袁置冰上 20 min 后袁加人标记探针 1 滤遥为保证显影条带的特异性袁同一块胶上设冷探针漏 old probe 袁 阻断组袁即与 32P 标记探针结合前袁加人未标记探针即冷探针预孵育袁封闭结合蛋白遥配制 8% 的聚丙烯酰胺凝胶袁 胶袁待胶凝固后上样袁置于 1% 的 TBE 缓冲液中袁恒电压 150 v 电泳 2 h 遥

1.4.3.5 干胶和放射自显影 干胶仪干胶 40 min 袁置入暗盒中袁覆盖 2 张胶片袁 70 益低温冰箱过夜袁冲洗胶片遥

1.5 统计方法

用 Wilcoxon 秩和检验比较 DSS 组与对照组的 TNF- α 蛋白的表达量

2 结果

2.1 症状

DSS 组在饮用 DSS 后 2 d 即出现腹泻袁第 3 天有部分出现肉眼血便袁至第 7 天全部出现肉眼血便遥组织学检查也可见到肠粘膜广泛缺失袁腺体大多数不完整袁炎症细胞广泛浸润等典型炎症改变遥而对照组则无改变遥

2.2 TNE-环状 1-萜类的表达变化

TNF-_β mRNA 表达的 RT-PCR 凝胶电泳检测结果见图 1。图 3 为 TNF-_β mRNA 表达的半定量图。可以看出，SS 组 TNF-_β mRNA 的表达较对照组显著增加。采用 Gel-Pro Analyzer 4.0 软件（美国 Media Cybernetics 公司）根据电泳条带的面积和亮度计算出每个条带的积分光密度，以待测细胞因子的光密度对同一标本 GAPDH 的光密度的比值表示该细胞因子 mRNA 的表达水平。

2.3 NF- κ B 的激活

DSS 组 NF- κ B 出现明显激活而对照组则无
NF- κ B 的表达图 4

3 讨论

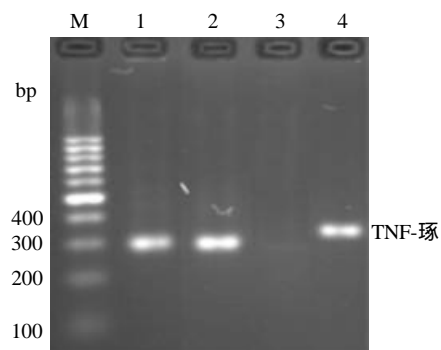


图 1 溃疡性结肠炎小鼠肠粘膜中TNF-琢的表达

Fig.1 Expression of TNF-琢in the intestinal mu郵 cosa of mice with ulcerative colitis

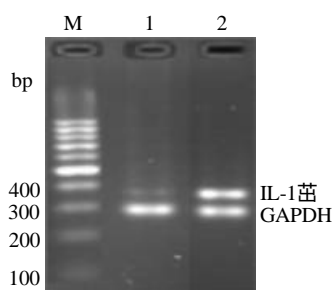
M: Marker; Lanes 1, 2: GAPDH; Lane 3: Control group;
Lane 4: Dextran sulfate sodium group

图 2 溃疡性结肠炎小鼠肠粘膜中IL-1苗的表达

Fig.2 Expression of IL-1苗in the intestinal mucosa of mice with ulcerative colitis

M: Marker; Lane 1: Control group; Lane 2: Dextran sulfate sodium group

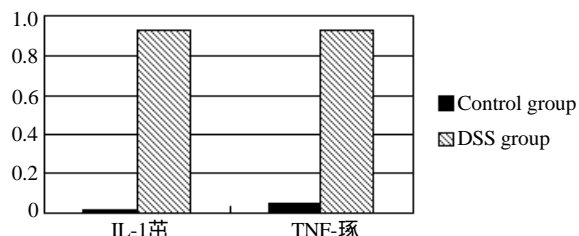
图 3 对照组和 DSS 组小鼠肠粘膜中TNF-琢和IL-1苗的表达 $P=0.009$ Fig.3 Expression of TNF-琢and IL-1苗in the intestinal mucosa of mice in the control and dextran sulfate sodium group $P=0.009$ 

图 4 溃疡性结肠炎小鼠肠粘膜中 NF-肯B 的激活

Fig.4 Activation of NF-肯B in the intestinal mucosa of mice with ulcerative colitis
Lane 1: Control group; Lane 2:
Dextran sulfate sodium group;
Lanes 3, 4: Cryo-probe control

越来越多的证据显示UC的发生是由多因素共同作用的结果。免疫因素是重要的因素之一。细胞因子在调节肠道免疫中扮演重要角色。有诱导炎症的如TNF-琢、IL-1苗、IL-6苗、IL-8苗、IL-12等；抗炎的如IL-10苗、IL-4苗、IL-11等。作用的IL-1苗是激活免疫和炎症细胞的重要介质。关于其在IBD (inflammatory bowel disease)患者中的表达存在相反意见。有的学者认为增加的则认为无表达。但本研究显示在小鼠UC肠粘膜内TNF-琢的表达明显增加。

TNF-琢、IL-1苗是由Th1细胞分泌的。现已证实Th1细胞因子的表达由核因子-肯B(NF-肯B)调控。NF-肯B是一种快反应转录因子。在正常情况下普遍存在于细胞质内，与抑制蛋白I肯B结合而无活性。当细胞接受多种刺激信号后，如IBD时T细胞和巨噬细胞释放的TNF-琢、IL-1苗等，后I肯B被磷酸化，自复合体脱落，蛋白移位至细胞核内与靶序列结合而激活受调节的基因。已知NF-肯B在正常肠上皮细胞内无激活，在IBD的肠上皮细胞内明显激活。

本研究发现，在UC小鼠的肠粘膜内，TNF-琢、IL-1苗的表达都较对照组显著增加。同时，NF-肯B也明显激活。这说明NF-肯B在UC的发生和发展过程中均有调控Th1细胞因子表达的作用。而细胞因子的增加可以引起UC的症状产生，组织损害和其它病理变化。DSS鼠UC以溃疡、上皮损害、黏膜下炎性浸润、淋巴细胞增生为特点。如果应用DSS的同时用NF-肯B反义寡核苷酸给小鼠灌肠，则小鼠疾病活动指数、症状、组织损害均减轻。TNF-琢的表达也同时降低。这就从反方向证实NF-肯B可调控细胞因子表达。而细胞因子表达的减少可以减轻炎症反应。

在本研究中，TNF-琢、IL-1苗的表达明显增加。它们在UC中起重要的诱发和延续炎症的作用。许多证据显示，TNF-琢、IL-1苗等炎症因子可激活NF-肯B，而激活的NF-肯B又可以调控炎症因子的表达。我们的研究发现，在UC过程中，NF-肯B和TNF-琢、IL-1苗的表达均明显增加。但两者表达的因果关系无法确定。考虑可能有其它的激活途径或者先诱发细胞因子的表达再激活NF-肯B，或者直接激活NF-肯B再调控细胞因子的表达。这些激活途径可能包括：致炎细胞的浸润、肠道菌群的改变、直接的细胞毒作用等。因为在DSS小鼠UC中，肠道炎症被认为有以下方面的原因：引起肠道直接的细胞毒作用；肠道淋巴细胞、上皮细胞、细胞外基质的正常相互作用；干扰素、白介素受体和其它细胞受体或功能异常表达；肠道菌群改变。综上所述，有必要进一步明确TNF-琢、IL-1苗等炎症因子与NF-肯B间的关系，从而从分子水平对UC的

发生发展进行阐述遥

参考文献院

- 咱暂 Vincenti MP, Burrell TA, Taffet SM. Regulation of NF-kappa B activity in murine macrophages: effect of bacterial lipopolysaccharide and phorbol ester咱暂 J Cell Physiol, 1992, 150(1): 204-13.
- 咱暂 Stevceva L, Pavli P, Husband A, et al. Dextran sulphate sodium-induced colitis is ameliorated in interleukin 4 deficient mice 咱暂 Genes Immun, 2001, 2(6): 309-16.
- 咱暂 Lakatos L. Immunology of inflammatory bowel diseases 咨暂 Acta physiol Hung, 2000, 87(4): 355-72.
- 咱暂 Olsen I, Wiker HG, Johnson E, et al. Elevated antibody responses in patients with Crohn's disease against a 14-kDa secreted protein purified from *Mycobacterium avium* subsp咱暂 Scand J Immunol, 2001, 53(2): 198-203.
- 咱暂 Brandtzaeg P. Inflammatory bowel disease; clinics and pathology. Do inflammatory bowel disease and peridental disease have similar immunopathogeneses咱暂 Acta Odontol Scand, 2001, 59(4): 235-43.
- 咱暂 Rogler G, Andus T. Cytokines in Inflammatory Bowel Disease 咨暂 World J Surg, 1998, 22(4): 382-9.
- 咱暂 Rogler G, Gelmann CM, Vogl D, et al. Differential activation of cytokine secretion in primary human colonic fibroblast/myofibroblast cultures咱暂 Scand J Gastroenterol, 2001, 36(4): 389-98.
- 咱暂 Kanauchi O, Andoh A, Iwanaga T, et al. Germinted barley food-stuffs attenuate colonic mucosal damage and mucosal nuclear factor kappa B activity in a spontaneous colitis model咱暂 J Gastroenterol Hepatol, 1999, 14(12): 1173-9.
- 咱0暂 Neurath MF, Fuss I, Schurmann G, et al. Cytokine gene transcription by NF-kappa B family members in patients with inflammatory bowel disease咱暂 Ann N Y Acad Sci, 1998, 17(3): 859-149-59.
- 咱1暂 Haddad JJ, Land SC. Amiloride blockades lipopolysaccharide-induced proinflammatory cytokine biosynthesis in an IkappaB-Alpha/NF-kappaB-dependent mechanism. Evidence for the amplification of an anti-inflammatory pathway in the alveolar epithelium咱暂 Am J Respir Cell Mol Biol, 2002, 26(1): 114-26.
- 咱2暂 Schreiber S, Nikolaus S, Hampe J. Activation of nuclear factor? B inflammatory bowel disease咱暂 Gut, 1998, 42(4): 477-84.
- 咱3暂 Herfarth H, Brand K, Rath HC, et al. Therapeutic effect of intracolonically administered nuclear factor κ B (p65)antisense oligonucleotide on mouse dextran sulphate sodium (DSS)-induced colitis 咨暂 Clin Exp Immunol, 2000 Apr, 120(1): 59-65.
- 咱4暂 Nikolaus S, Bauditz J, Gionchetti P, et al. Increased secretion of pro-inflammatory cytokines by circulating polymorphonuclear and regulation by interleukin 10 during intestinal inflammation咱暂 Gut, 1998, 42(4): 470-6.
- 咱5暂 Ni J, Chen SF, Hollander D. Effects of dextran sulfate sodium on intestinal epithelial cells and intestinal lymphocytes咱暂 Gut, 1996 Aug, 39(2): 234-41.

同种带瓣外管道 Rastelli 术式矫治 Taussig-Bing 畸形 4 例报告

Anatomically repairing Taussig-Bing abnormality treated by Rastelli procedure and allograft valved external conduit: report of 4 cases

张振袁王振康袁小明袁开灿袁第一军医大学南方医院胸心外科袁广东 广州 510515袁

关键词院心脏缺损袁先天性心脏病外科手术曰taussig-Bing 畸形

中图分类号院654.2 文献标识码院A 文章编号院000-2588渊003冤1-1205-02

Taussig-Bing 畸形为右室双出口 (DORV) 的一种少见类型袁其主要特点为 DORV 合并大动脉转位袁肺动脉骑跨于室间隔上方袁肺动脉瓣同二尖瓣间由圆锥间隔分隔而缺乏纤维联系遥该类型属复杂心脏畸形袁手术矫治死亡率高袁目前常用的左室 - 肺动脉内隧道及大动脉转位矫治术后早期死亡率达到 40%~50% 遥我院于 2000 年 5 月 ~2002 年 5 月采用同种异体带瓣外管道 Rastelli 术式对 4 例 Taussig-Bing 畸形 深 例同种异体带瓣主动脉尧 例同种异体带瓣肺动脉尧解剖矫治袁取得了较好的效果遥

收稿日期院003-05-17

作者简介院张 振渊976-袁男袁天津人袁001 年毕业于第一军医大学袁士袁主治医师袁电话院20-61647169

1 资料与方法

4 例男性患者均经超声或心导管造影确诊为 Taussig-Bing 畸形袁年龄 12~21 岁袁平均 16 岁袁临上均表现出明显紫绀尧活动耐力降低遥术前胸片检查 3 例患者表现为肺血增多袁例减少袁心电图提示不同程度的右室肥厚袁轴右偏 104°~120°袁例为玉° 传导阻滞遥 例均有不同程度的肺动脉及瓣环狭窄袁超声测量肺动脉瓣口直径约 7~10 mm袁室间隔缺损大小 28~36 mm袁超声或心导管测量狭窄远端肺动脉压力约 5.32~7.98 kPa (40~60 mmHg) 遥术中探查见 4 例患者均为 SDL 深房正位袁心室右襻袁主动脉位于肺动脉左侧冤型 DORV 袁主动脉位于肺动脉正前方或左前方袁其中 1 例合并左上腔静脉袁例为右位心合并左上腔静脉尧左位下腔静脉尧三房心及源于左冠状动脉根部异常分支横跨右室流出道遥